

معرفی تکنیکی جدید برای ارزیابی رفتار و تغییر حجم خاک‌های غیراشباع*

غلام‌حسین اسکندری^(۱) علی رئیسی استبرق^(۲) عباس سروش^(۳)

چکیده تعیین تغییر حجم خاک‌های غیراشباع در حین بارگذاری و تغییر مکش از مشکلات اساسی آزمایشگاهی برای این نوع خاک‌ها محسوب می‌گردد. بررسی منابع نشان می‌دهد تاکنون تلاش‌های بسیاری برای ابداع ابزار آزمایشگاهی مناسب به منظور اندازه‌گیری تغییر حجم نمونه‌های غیراشباع خاک با دقت مناسب صورت گرفته است. این مقاله به شرح جزئیات و مزایای طراحی و ساخت یک دستگاه سه‌محوری با سلول دوگانه‌ی کاملاً خودکار برای اندازه‌گیری تغییر حجم نمونه‌های غیراشباع خواهد پرداخت. در ادامه، مراحل کالیبراسیون برای تغییر حجم ظاهری ناشی از انبساط اولیه و جذب آب و انبساط اتصالات مربوطه‌ی دستگاه مذکور نیز ارائه شده است. آزمایش بر روی نمونه‌های غیراشباع خاک متورم‌شونده برای تعیین منحنی مشخصه‌ی آب خاک در شرایط غیرایزوتروپیک انجام شد. نتیجه‌های به‌دست آمده نشان‌دهنده‌ی عملکرد مناسب دستگاه ساخته شده می‌باشد. همچنین نتایج آزمایش‌ها نشان می‌دهد که منحنی مشخصه‌ی رطوبتی خاک تابعی از اعمال بار وارد به نمونه می‌باشد.

واژه‌های کلیدی خاک غیراشباع، تغییر حجم، سلول دوگانه، کالیبراسیون، منحنی مشخصه‌ی رطوبتی خاک، بارگذاری غیرایزوتروپیک.

A New Technique for Assessing Volume Change Behavior Of Unsaturated Soils

G. H. Eskandari

A. Raeesi

A. Soroush

Abstract Determination of volume change of unsaturated soils during loading and suction change is one of the most important difficulties in testing unsaturated specimens. It is revealed from literature review that various attempts have been made to invent an apparatus that can be used in testing on unsaturated soil specimens, simply and accurately. In this research, details of design and manufacture of a fully automatic 3-axial apparatus is explained, that can be used in measurement of volume change in unsaturated soils. Calibration procedure is also explained. To determine SWCC, some tests were conducted in anisotropic conditions. Results confirm the operation of apparatus. It is shown that SWCC is a function of excreted load.

Key Words Unsaturated soil, Volume Change, Double Cell, Calibration, Soil Water Characteristic Curve (SWCC), Anisotropic Loading.

★ تاریخ دریافت مقاله ۹۰/۹/۱۲ و تاریخ پذیرش آن ۹۲/۵/۱۲ می‌باشد.

(۱) نویسنده‌ی مسؤول: دانشجوی دکتری گروه آبیاری و آبادانی، دانشگاه تهران.

(۲) استادیار گروه آبیاری و آبادانی، دانشگاه تهران.

(۳) دانشیار دانشکده مهندسی عمران و محیط زیست، دانشگاه صنعتی امیرکبیر.

مقدمه

خاک‌های غیراشباع متشکل از سه فاز جامد، آب و هوا می‌باشند. هر دو فاز آب و هوا در خصوصیات مکانیکی این خاک‌ها نقشی اساسی ایفا می‌کنند. تاکنون محققان متعددی از تحقیقات خود نتیجه‌گیری نموده‌اند که بیان خواص مکانیکی خاک‌های غیراشباع به‌وسیله‌ی دو تنش $(\sigma - u_a)$ و $(u_a - u_w)$ امکان‌پذیر است [1,34]. در این روابط σ تنش کل، u_a فشار هوای منفذی، u_w فشار آب منفذی و S مکش ماتریک است. در بیان خواص مکانیکی خاک‌های غیراشباع، پارامترهای مکش و تغییر حجم نقشی اساسی دارند. لذا لازم است قبل از ورود به بحث اصلی، در مورد این دو پارامتر توضیحات لازم ارائه گردد.

مکش ماتریک

به نیرویی که باعث بالا رفتن آب از لوله‌ی موئین می‌شود نیروی موئینگی، پتانسیل ماتریک و (در مکانیک خاک) مکش ماتریک می‌گویند که باعث نگه داشتن شدن ذرات خاک در کنار یکدیگر می‌شود. طبق تعریف، در مکانیک خاک، مکش ماتریک برابر است با تفاضل فشار هوا و فشار آب منفذی $(S = (u_a - u_w))$. این پارامتر در حالت طبیعی همواره مقداری منفی دارد و نقش بسیار مهمی در تغییرات رطوبتی و در نتیجه تغییرات حجمی و مقاومتی خاک ایفا می‌کند. برای اندازه‌گیری مکش خاک معمولاً از تانسومتر، بلوک گچی، TDR و نوترون‌متر استفاده می‌شود. اما برای انجام آزمایش بر روی خاک‌های غیراشباع، لازم است که مکش‌های مورد نظر را در خاک ایجاد نمود. روش‌هایی که در مطالعات ژئوتکنیکی برای ایجاد مکش مورد استفاده قرار می‌گیرند عبارتند از: روش اسمزی [40]، روش کنترل رطوبتی [12] و روش انتقال محوری [15].

روش اسمزی

این روش اولین بار توسط یک بیولوژیست [19] مورد استفاده قرار گرفته و سپس توسط یک خاکشناس [40] وارد مباحث علوم خاک شده و از آن‌جا به مطالعات محققین ژئوتکنیک [6, 16, 17] وارد شده است. در این روش، پس از قرار دادن خاک در غشای نیمه تراوا، در اطراف خاک یک محلول با غلظت و پتانسیل اسمزی مشخص قرار می‌دهند. در اثر اختلاف پتانسیل بین محلول و خاک مرطوب، یک گرادیان انرژی در دو طرف غشا ایجاد می‌شود و در نتیجه باعث حرکت آب از نمونه به سمت محلول می‌گردد و بدین ترتیب به خاک درون غشا یک مکش مشخص اعمال می‌گردد. به دلیل سهولت و ایمنی ماده‌ی پلی‌اتیلن‌گلیکول (PEG)، معمولاً از این ماده در تهیه‌ی محلول مورد نظر برای ایجاد مکش استفاده می‌شود. مقدار فشار اسمزی در این حالت بستگی به غلظت محلول دارد. هرچه محلول غلیظ‌تر باشد فشار اسمزی ایجاد شده بیش‌تر خواهد بود. ماکزیمم فشار اسمزی که تاکنون برای محلول PEG گزارش شده است عددی بیش از ۱۰MPa بوده است. از آن‌جا که فشار هوای اطراف نمونه‌ی خاک در روش اسمزی در حد فشار اتمسفر باقی می‌ماند، مسیرهای تنش میدانی را با استفاده از این روش به‌تر می‌توان شبیه‌سازی نمود. به‌علاوه، در این روش بدون استفاده از هیچ‌گونه فشار سلولی می‌توان مکش‌های بسیار بالایی در خاک ایجاد نمود [7].

روش کنترل رطوبتی

بر اساس تعریف ترمودینامیکی که برای مکش کل ارائه شده است، با کنترل رطوبت نسبی فضای اطراف خاک می‌توان مکش کل خاصی را بر خاک اعمال نمود. در این روش، نمونه‌ای از خاک نزدیک به محیط ترمودینامیکی بسته‌ای که در آن محلول آبی با ترکیب شیمیایی خاص وجود دارد قرار داده می‌شود. با توجه به ویژگی‌های فیزیکوشیمیایی این ترکیب، رطوبت نسبی

صفحات اشباع با ظرفیت ورود هوای معین قرار داده می شود و فشار هوا از بالا به نمونه اعمال می گردد. آب خروجی از نمونه نیز در فشار اتمسفر قرار می گیرد و مقدار نسبی آن صفر در نظر گرفته می شود. لذا مقدار مکش ($u_a - u_w$) ایجاد شده برابر با فشار هوای اعمالی خواهد بود.

در روش انتقال محوری، هم فشار آب و هم فشار هوای منفذی به طور مستقل کنترل و اندازه گیری می شوند. این مسأله امکاناتی را به وجود می آورد تا بتوان آزمایش هایی تحت مکش ثابت و یا با تغییر مکش انجام داد. یکی از محدودیت های روش انتقال محوری مربوط به مقدار ماکزیمم مکشی است که می توان به نمونه ی خاک اعمال نمود. مقدار ماکزیمم مکش قابل استفاده در این روش به سیستم موجود برای اعمال فشار آب و هوا و نیز به ظرفیت ورود هوای سنگ متخلخل بستگی دارد.

بزرگ ترین مزیت این روش آن است که با استفاده از آن می توان، مکش را در نمونه های آزمایشگاهی طی زمان قابل قبول و به سهولت به میزان دلخواه رساند.

[2] Bishop & Blight مطالعه ای بر اثر روش انتقال محوری بر مقاومت برشی اندازه گیری شده در خاک های رسی متراکم شده انجام دادند. یافته های آنها استفاده از روش انتقال محوری در اندازه گیری مقاومت برشی خاک را تأیید نمود. برخی از محققان بر این باورند که در زمان استفاده از نتایج آزمایش هایی که در آنها از روش انتقال محوری استفاده شده است بایستی به حالت فاز هوا برای تأیید نتایج مطالعات دقت نمود. زیرا روش انتقال محوری در مکش های زیاد و زمانی که فاز هوا در شرایط به هم پیوسته قرار دارد دارای اعتبار است [4,7,8]. اما آزمایش های خاص (Null Tests) که توسط Morgenestern and Fredlund [13] انجام شد اعتبار روش انتقال محوری در درجه اشباع های بالا را (در بازه ی $\frac{83}{3}$ تا ۹۵ درصد)

مشخصی به محیط بسته اعمال می شود. انتقال رطوبت در این روش از طریق انتقال بخار بین محلول و نمونه ی خاک انجام می شود و زمانی که بخار در تمام محیط بسته به تعادل رسید مکش خاصی به نمونه اعمال می گردد. برای ایجاد مکش های مختلف در خاک می توان از یک محلول با غلظت های مختلف یا چند محلول اشباع مختلف از نمک های گوناگون استفاده نمود [12].

روش انتقال محوری

این تکنیک اولین بار توسط [15] Hilf ابداع شد و سپس به یکی از روش های متداول در مهندسی ژئوتکنیک مبدل شد. اساس روش انتقال محوری بر افزایش فشار هوا (u_a) قرار گرفته است و هدف از آن افزایش فشار آب منفذی ماتریک (u_w) به مقداری مثبت و ممانعت از وقوع کاویتاسیون در سیستم زهکشی دستگاه می باشد. ایجاد مکش در روش انتقال محوری، از طریق افزایش فشار فازهای آب و هوای منفذی در خاک به طور جداگانه انجام می شود. در این روش همواره فشار هوا از فشار آب بیش تر است. لذا، به منظور ممکن ساختن اعمال فشار آب منفذی به نمونه و در نتیجه ایجاد یک مکش خاص در آن، از یک سنگ متخلخل با ظرفیت ورود هوای بالا (High Air Entry Value) در قسمت زیر نمونه استفاده می شود. زمانی که این سنگ متخلخل اشباع باشد فقط اجازه ی عبور آب را می دهد و تا زمانی که فشار هوا از ظرفیت ورود هوای سنگ متخلخل بیش تر نشده باشد، از عبور هوای آزاد از خود جلوگیری می کند. این افزایش مکش، برای سرامیک ذوب شده و قالب ریزی شده (Sintered) می تواند تا 1500 kPa ادامه داشته باشد [20]. ساده ترین کاربرد روش انتقال محوری در دستگاه صفحه فشار (Pressure Plate) مشاهده می شود. برای ایجاد یک مکش خاص در دستگاه صفحه فشار، نمونه بر روی

دستگاه سه‌محوری ارائه نمودند که دستگاه را به دو بخش سلول داخلی و سلول خارجی تقسیم می‌کرد. در این دستگاه از جیوه به‌عنوان مایع پرکننده‌ی سلول‌ها استفاده شده بود که تا نیمه سلول داخلی را پر می‌کرد. در قسمت بالایی سلول داخلی منفذی تعبیه شده بود که سلول داخلی را به سلول خارجی متصل می‌کرد و بدین طریق با برابر کردن فشار در سلول‌های داخلی و خارجی، تغییر حجم سلول داخلی را مرتفع می‌نمود. برای اندازه‌گیری تغییر حجم جیوه (که برابر با تغییر حجم نمونه فرض می‌شد) یک گلوله از جنس فولاد مقاوم در برابر زنگ زدن، به‌صورت شناور بر روی سطح جیوه‌ی سلول داخلی قرار داده شده بود و از طریق تعیین میزان تغییر مکان گلوله، تغییر حجم نمونه‌ی خاک در طول آزمایش اندازه‌گیری می‌شد. روش ایجاد مکش در این دستگاه، روش انتقال محوری بود.

لیکن به‌علت ارتباط بین دو سلول و نیز استفاده از مایع سنگین و سمی جیوه به‌عنوان سیال مورد استفاده در سلول‌ها و نیز مشکلاتی که در تعیین تغییر مکان گوی شناور در سلول داخلی وجود داشت، این دستگاه چندان مورد استقبال محققان قرار نگرفت.

Wheeler [34] دستگاه سه‌محوری با سلول دوجداره، مشابه دستگاه Bishop and Donald [3] ساخت، به‌طوری‌که دو سلول داخلی و خارجی هیچ‌گونه ارتباطی با یکدیگر نداشتند. در دستگاه ویلر، سلول داخلی و خارجی به‌طور کامل از هم جدا بودند و درون سلول‌های داخلی و خارجی از آب پر شده بود. به‌منظور جلوگیری از انبساط در سلول داخلی، فشارهای یکسانی به هر دو سلول وارد می‌شد. تغییرات حجم نمونه از طریق اندازه‌گیری میزان آب خروجی یا ورودی به سلول داخلی و به‌کمک یک بورت مدرج که به یک فشارسنج متصل بود اندازه‌گیری می‌شد. اعمال مکش در این دستگاه نیز بر اساس روش انتقال محوری

تأیید نمود؛ یعنی بازه‌ای از مکش که فرض می‌شود فاز هوا در آن بازه به‌صورت غیرپیوسته (Occluded) در خاک ظاهر می‌شود. مطالعات Tarantino et. al [34] نیز روش انتقال محوری را در شرایطی که فاز هوا پیوسته است مورد تأیید قرار داده است.

به‌دلیل سهولت اندازه‌گیری و کنترل مکش در این روش نسبت به دیگر روش‌های موجود، بیش‌تر نتایج آزمایشگاهی گزارش شده در مورد خاک‌های غیراشباع با استفاده از همین روش انتقال محوری به‌دست آمده‌اند. بنابراین، در این مطالعه نیز همین روش برای ایجاد مکش مورد استفاده قرار گرفته است.

روش اندازه‌گیری تغییر حجم نمونه

معمولاً تعیین خواص مکانیکی خاک‌های اشباع و غیراشباع نیازمند تعیین تغییر حجم نمونه می‌باشد. در خاک‌های اشباع، تغییر حجم نمونه خاک معادل حجم آب ورودی یا خروجی از نمونه می‌باشد که در دستگاه‌های سه‌محوری قابل اندازه‌گیری است. تعیین تغییر حجم خاک‌های غیراشباع به‌علت وجود توأمان فازهای آب و هوا مشکل می‌باشد. به‌منظور تفسیر و بیان خواص مکانیکی این دسته از خاک‌ها، بایستی تغییرات حاصل در فازهای آب و هوا مشخص گردد (فاز جامد ثابت می‌ماند) تا بتوان تغییر حجم کلی نمونه را به‌دست آورد. معمولاً در دستگاه‌های سه‌محوری دو روش برای اندازه‌گیری تغییر حجم یک نمونه خاک غیراشباع وجود دارد که عبارتند از:

- اندازه‌گیری تغییر حجم مایع اطراف نمونه خاک که مبین تغییر حجم نمونه است.

- استفاده از ادوات تغییر شکل سنج محوری و شعاعی که از داده‌های آن‌ها تغییر حجم نمونه به‌دست می‌آید.

تاکنون محققان مختلفی کوشیده‌اند که سیستمی را ارائه نمایند که تغییر حجم این خاک‌ها را با دقت زیاد ارائه دهد [3,14,37].

Bishop & Donald [3] سلول دوگانه‌ای برای

خارجی و استفاده از تنها یک صفحه‌ی بالایی برای آن‌ها بود. هم‌چنین تغییراتی در دستگاه ایجاد کرد تا پروخالی کردن سلول‌ها از پایین انجام گیرد و در صفحه‌ی بالایی منافذی برای تخلیه‌ی هوا تعبیه نمود. این عمل سهولت کار با دستگاه را بیش‌تر کرد و زمان پرکردن سلول‌ها را به میزان زیادی کاهش داد. اما بازهم مسائلی درباره‌ی دستگاه ساخته شده توسط وی وجود داشت؛ یکی استفاده از بورت برای اندازه‌گیری تغییرحجم آب ورودی به نمونه بود. زیرا تبخیر آب از بورت و انحنای سطح آب در آن دقت اندازه‌گیری را با سؤال جدی مواجه می‌کرد. استفاده از پارافین بروی سطح آب بورت هم خیلی به حل مشکل کمکی نکرد. چون پارافین هم در بورت به‌صورت مقعر قرار می‌گرفت. علاوه بر این، وی برای اعمال فشار به‌صورت تدریجی از وسایلی به نام Stepper Motor استفاده کرده بود. این وسیله در زمان اعمال فشار در یک جهت خوب عمل می‌کرد، اما با برعکس شدن تغییرجهت اعمال فشار، خطای فاحشی ایجاد می‌شد. ولی به‌طور کلی، دستگاه [37] Wheeler که در زمان Sharma [31] بسیاری از ایرادات آن مرتفع شده بود، از نقطه نظر آزمایشگاهی مزایای فراوانی داشت. Ng et al [27] به این نتیجه رسیدند که در دستگاه طراحی شده به‌وسیله‌ی [37] Wheeler، جذب آب به‌وسیله‌ی دیواره‌ی سلول داخلی اهمیت بسیار زیادی در تعیین حجم نمونه‌ی خاک دارد و لذا در طراحی خود، سلول داخلی را با دیواره‌ای آلومینیومی ساختند. آنان نیز برای اعمال فشار همه‌جانبه، از هوای فشرده استفاده نمودند. Padilla et al [28] با بررسی خود به این نتیجه رسیدند که ایجاد حباب هوا در زیر سنگ متخلخل Hig Air Entry Disk زیر نمونه، ایجاد خطای بسیار زیادی در تعیین حجم و سایر پارامترهای نمونه می‌نماید. لذا اقدام نمودند به ساخت دستگاهی مشابه محققان قبلی، لیکن با تعبیه‌ی یک سیستم شستشوی اتوماتیک برای

بود. این دستگاه دارای مزایای فراوانی نسبت به دستگاه پیشاپ و دونالد بود. به‌ویژه آن‌که به‌جای مایع سمی و سنگین جیوه از آب استفاده شده بود و سلول‌های داخلی و خارجی کاملاً از هم جدا شده بودند و لذا دقت اندازه‌گیری تغییر حجم بیش‌تر شده بود. به همین دلیل این دستگاه مورد استقبال محققان قرار گرفت.

[31] Sharma و [32] Sivakumar, [39] Zakaria دستگاه ساخته شده به‌وسیله‌ی [37] Wheeler را در کار تحقیقاتی خود مورد استفاده قرار دادند، البته با تغییراتی در سیستم زهکشی و ابزار اندازه‌گیری تغییرحجم آب ورودی به یا خروجی از نمونه. با این حال دستگاه ویلر ایراداتی نیز داشت که محققان بعدی برخی از این ایرادات را رفع نمودند. از جمله آن‌که صفحه‌ی بالایی (Top Plate) سلول‌های دستگاه از هم جدا بود و سلول داخلی کاملاً در سلول خارجی قرار می‌گرفت. پروخالی کردن سلول‌ها نیز از بالا انجام می‌شد. لذا هنگام قرار دادن نمونه در دستگاه و پرنمودن سلول از آب، هم تخلیه‌ی هوا به‌خوبی انجام نمی‌شد و هم زمان زیادی صرف پرنمودن سلول‌ها می‌شد. زیرا لازم بود سلول را در ظرفی پر از آب قرار بدهند و منتظر پرشدن آن بمانند. هم‌چنین نفوذ آب از سلول خارجی به سیستم بارگذاری محوری و زنگ زدن ساچمه‌های این بخش، باعث کاهش دقت اندازه‌گیری تغییرحجم بود [32]. مشکل موجود در سیستم اعمال بار محوری توسط [32] Sivakumar مرتفع گردید.

[6] Cui and Delage همان دستگاه را مورد استفاده قرار دادند و تغییراتی که در آن ایجاد نمودند عبارت بود از اضافه نمودن سیستم ایجاد مکش در نمونه به روش اسمزی و استفاده از هوای فشرده به‌منظور اعمال فشار همه‌جانبه. اما جدا بودن صفحه بالایی دو سلول تا زمان [31] Sharma ادامه داشت. وی بسیاری از ایرادات مطالعات قبلی را برطرف نمود که مهم‌ترین آن‌ها جدا کردن کامل سلول‌های داخلی و

نمونه‌ای رسی، تحت شرایط غیرایزوتروپیک.

مواد و روش‌ها

با توجه به روش‌های اندازه‌گیری تغییر حجم نمونه در خاک‌های غیراشباع و نیز مکانیزم‌های مختلف ایجاد مکش در خاک که قبلاً بیان گردید، به نظر می‌رسد روش ابداعی [37] Wheeler با مزایایی که ذکر شد مناسب‌ترین روش برای ایجاد مکش و اندازه‌گیری تغییر حجم باشد. لذا در این تحقیق، تغییراتی در یک دستگاه سه‌محوری معمولی که ویژه‌ی خاک‌های اشباع بود ایجاد گردید تا دستگاه در نهایت مناسب آزمایش بر روی خاک‌های غیراشباع گردد. مهم‌ترین این تغییرات عبارتند از افزودن یک سلول دیگر به دستگاه و تغییر در پدستال. در این بخش جزئیات دستگاه ساخته شده تشریح خواهد گردید.

صفحه‌ی پایینی دستگاه (Base Plate). تغییراتی که در صفحه‌ی پایینی یک دستگاه سه‌محوری معمولی ایجاد گردید تا مناسب آزمایش بر روی خاک‌های غیراشباع شود عبارتند از:

مسیرهای اعمال فشار آب و هوا. علاوه بر سه مسیر موجود در صفحه‌ی زیرین یک دستگاه سه‌محوری معمولی (مسیرهای A، C و D)، لازم است دو مسیر دیگر نیز به صفحه‌ی زیرین اضافه نمود (شکل ۱). از طریق مسیر A، پس‌فشارمورد نظر به نمونه اعمال می‌گردد. همچنین از این مسیر آب به نمونه وارد یا از آن خارج می‌گردد. مسیر B برای خارج نمودن هوای تجمع‌یافته در زیر سنگ متخلخل پدستال مورد استفاده قرار می‌گیرد. این عمل را در اصطلاح شستشو (Flushing) گویند. مسیر C در دستگاه سه‌محوری معمولی برای عبور آب زهکشی‌شده از نمونه استفاده می‌شود. اما در دستگاه سه‌محوری ویژه‌ی خاک‌های غیراشباع، این مسیر به منظور اعمال فشار هوا به کار برده می‌شود. مسیرهای D و E نیز به ترتیب برای پر و خالی

حذف حباب‌های هوای به وجود آمده در زیر سنگ متخلخل زیر نمونه.

[33] Sivakumar دستگاهی مشابه محققان قبلی ساخت، اما در طراحی او مجموعه سلول داخلی در سلول خارجی جا داده شد به طوری که در هنگام اعمال فشار انبساطی نه تنها در دیواره‌ی سلول، بلکه در صفحات بالایی آن صورت نپذیرد. [1] Arunasalam به این نتیجه رسید که برای جلوگیری از انبساط دیواره‌ی سلول و نیز جذب آب به وسیله آن، ضروری است یک سلول یک جداره از جنس استیل مورد استفاده قرار گیرد. وی از این روش در کار تحقیقاتی خود استفاده نمود. اما از اشکالات مهم این دستگاه، عدم مشاهده‌ی نمونه در طول آزمایش می‌باشد.

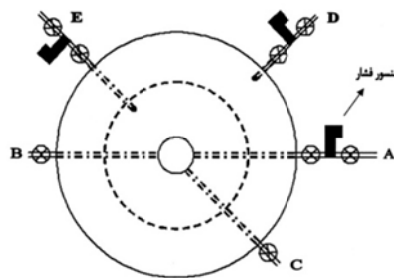
گروهی دیگر از محققان از دستگاه‌های سه‌محوری معمولی مجهز به تغییر شکل سنج‌های محوری (Axial Strainmeter) و شعاعی (Radial Strainmeter) برای تعیین تغییر حجم نمونه استفاده کردند و نتایجی نیز ارائه نمودند [5,6,9,18,21,26,30]. اندازه‌گیری تغییر شکل نمونه به ویژه تغییر شکل شعاعی فقط مبین تغییر شکل یک ناحیه‌ی خاص از نمونه است نه تغییر شکل کلی نمونه و از طرفی ممکن است تغییر شکل نمونه غیریکنواخت باشد. هم‌چنین اکثر تغییر شکل سنج‌ها فقط در یک محدوده‌ی خاص اندازه‌گیری تغییر حجم را ارائه می‌کنند (۱ درصد کرنش) و اگر بیش از آن محدوده در نمونه تغییر شکلی رخ دهد قادر به تعیین مقدار دقیق آن نمی‌باشند. از بررسی منابع می‌توان چنین نتیجه‌گیری کرد که کاربرد سیستم سلول دوگانه در تعیین تغییر حجم نمونه نسبت به دیگر روش‌ها دقیق‌تر می‌باشد.

هدف از انجام این پژوهش نخست طراحی و ساخت یک دستگاه سه‌محوری دوجداره بود که معایب دستگاه‌های تاکنون ساخته شده را مرتفع نماید، و سپس انجام مراحل کالیبراسیون آن و نیز انجام آزمایش‌های تعیین منحنی مشخصه‌ی آب خاک برای

خود عبور دهد اما مانع عبور هوا گردد. برای این منظور، در دستگاه ساخته شده در این مطالعه از یک سنگ متخلخل ویژه با ظرفیت ورود هوای ۵ اتمسفر استفاده شده است. قبل از شروع آزمایش‌ها بایستی این سنگ متخلخل اشباع شود. در این حالت، تا زمانی که فشار هوای اعمالی کم‌تر از ظرفیت ورود هوای سنگ متخلخل (۵ بار) باشد، هوا امکان عبور از سنگ را نخواهد داشت و تنها آب می‌تواند از سنگ گذر نماید. بدین طریق امکان ایجاد مکش مورد نظر در نمونه‌ی تحت آزمایش فراهم می‌گردد.

طراحی پایه‌ی محل قرارگیری نمونه. هرچند که در قسمت قبل ذکر شد که تا زمانی که فشار هوای اعمالی از ظرفیت ورود هوای سنگ متخلخل بیش‌تر نشود، امکان عبور هوا از سنگ متخلخل وجود ندارد، اما به دلیل عدم یکنواختی در سنگ در زمان ساخت در کارخانه و یا مسایل دیگر، ممکن است مقداری هوا بتواند از سنگ عبور نماید. به مرور زمان این حباب‌های هوا در زیر سنگ تجمع می‌کند و اندازه‌گیری تغییرحجم آب ورودی به یا خروجی از نمونه را با مشکل روبه‌رو می‌سازد. لذا به‌منظور خارج نمودن هوای نفوذ کرده به زیر سنگ متخلخل پدستال، لازم است تغییراتی در پایه‌ی محل قرارگیری نمونه‌ی (پدستال) دستگاه سه‌محوری معمولی ایجاد گردد. در دستگاه مورد استفاده در این مطالعه، در زیر سنگ متخلخل نصب شده روی پدستال، فضایی تعبیه شده است که امکان چرخش آب را از طریق دوایر متحدالمرکزی که به وسیله‌ی شیارهایی باریک به هم متصل شده‌اند فراهم می‌آورد و از این طریق شستشوی هوای تجمع یافته به‌دقت و سهولت بیش‌تری انجام می‌شود شکل (۲). سپس از طریق مسیر B در شکل (۱)، این حباب‌های هوای تجمع یافته از محیط پدستال خارج می‌گردد.

نمودن و نیز اعمال فشار در سلول‌های خارجی و داخلی در صفحه‌ی پایینی تعبیه شده‌اند. دایره‌ای که به‌صورت خط‌چین در شکل (۱) نمایش داده شده، شیباری است که برای قرار گرفتن سلول داخلی و عایق نمودن آن نسبت به سلول خارجی در صفحه تعبیه گردیده است.



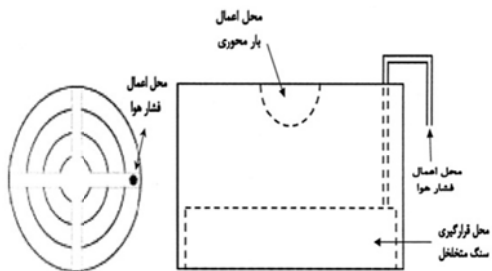
شکل ۱ شکل شماتیک Base Plate دستگاه

در مسیرهای A، D و E سه عدد سنسور فشار قرار داده شد که از این طریق بتوان فشار آب را به‌ترتیب در نمونه، سلول خارجی و سلول داخلی به‌صورت لحظه‌ای مشاهده و ثبت نمود.

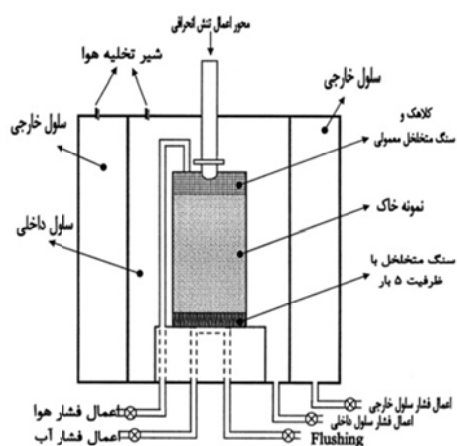
محل قرارگیری نمونه (Pedestal). پدستال در دستگاه سه‌محوری محلی است که در آن نمونه‌ی خاک قرار داده می‌شود. تغییراتی که در محل قرارگیری نمونه‌ی دستگاه سه‌محوری معمولی داده شد تا بتوان آزمایش‌های ویژه‌ی خاک‌های غیراشباع را انجام داد از این قرارند:

سنگ متخلخل زیر نمونه. سنگ متخلخلی که بر روی پایه‌ی محل قرارگیری نمونه در دستگاه ویژه‌ی آزمایش بر روی خاک‌های غیراشباع استفاده می‌شود و نمونه بر روی آن قرار می‌گیرد بایستی ویژگی خاصی داشته باشد. زیرا برای ایجاد یک مکش خاص در نمونه، از بالای نمونه فشار هوا و از پایین آن فشار آب اعمال می‌گردد. سنگ متخلخل پایه بایستی بتواند آب را از

یک سنگ متخلخل معمولی درون کلاهک قرار داده شده و کف کلاهک مطابق شکل (۴ - ب) شیار داده شده است تا عبور هوا با سهولت بیشتری انجام پذیرد. شمای کلی دستگاه در شکل (۵) نشان داده شده است.



شکل ۴ شکل شماتیک کلاهک بالایی. الف) از بغل، ب) از پایین



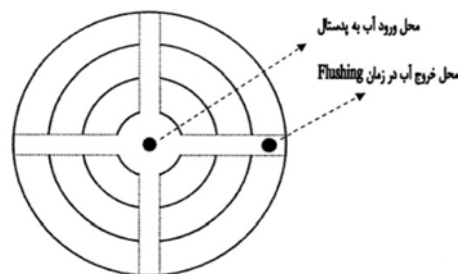
شکل ۵ نمای شماتیک سلول دستگاه

سیستم اندازه‌گیری تغییر حجم

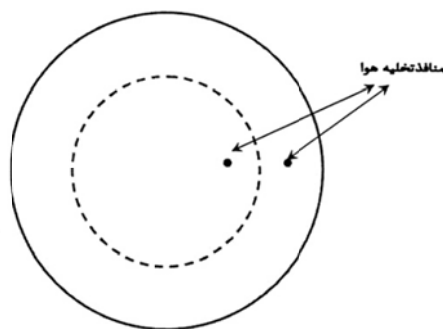
سلول دوگانه. روش اندازه‌گیری تغییر حجم نمونه در این دستگاه، اندازه‌گیری تغییر حجم مایع درون سلول داخلی دستگاه می‌باشد. همان‌گونه که در بخش ۱-۲ عنوان گردید، استفاده از تنها یک سلول در دستگاه منجر به ایجاد خطا در تعیین تغییر حجم نمونه خواهد گردید. زیرا افزایش یا کاهش فشار در سلول، علاوه بر آن‌که نمونه را تحت فشار همه جانبه قرار می‌دهد، باعث انبساط و یا انقباض خود سلول نیز خواهد گردید و درصدی از حجم آبی که به سمت سلول

صفحه‌ی بالایی دستگاه (Top Plate). شماتیک صفحه‌ی بالایی که در این مطالعه مورد استفاده قرار گرفته است، در شکل (۳) آمده است.

همان‌گونه که در این شکل مشاهده می‌شود، دو تغییر عمده در صفحه‌ی بالایی ایجاد شده است. اول آن‌که شیار برای قرار گرفتن سلول داخلی تعبیه شده (دایره خط‌چین) و دوم شیری به منظور تخلیه‌ی هوای سلول داخلی در زمان پر و خالی کردن دستگاه از آب، قرار داده شده است.



شکل ۲ نمایش پدستال از بالا



شکل ۳ شکل شماتیک Top Plate از بالا

کلاهک بالای نمونه (Top Cap)

در دستگاه سه‌محوری اصلاح شده برای آزمایش بر روی نمونه‌های غیراشباع، از کلاهک بالای نمونه برای اعمال بار محوری به نمونه و نیز اعمال فشار هوا استفاده می‌گردد. شکل شماتیک کلاهک به کار برده شده در دستگاه مطالعه‌ی حاضر، در شکل (۴) آمده است. به منظور توزیع به‌تر فشار هوا در سطح نمونه،

تغییر حجم نمونه‌ی خاک می‌شود، مرتفع می‌گردد. حال می‌توان با اطمینان تغییر حجم مایع درون سلول داخلی را به تغییر حجم نمونه نسبت داد و با اندازه‌گیری آن به راحتی تغییر حجم نمونه در حین انجام آزمایش را تعیین نمود.

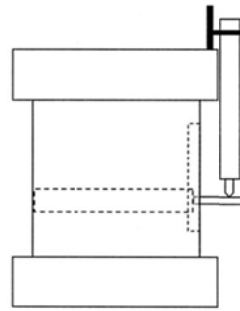
تجهیزات اندازه‌گیری تغییر حجم. برای اندازه‌گیری تغییر حجم آب حفره‌ای نمونه و تغییر حجم آب موجود در سلول داخلی، از دو عدد دستگاه اندازه‌گیری تغییر حجم Constant Volume Change ساخت شرکت وایکهام فرانس (Wykham France) انگلیس استفاده می‌شود. در این دستگاه، آب پس از وارد شدن به دستگاه، باعث جابه‌جایی صفحه‌ی دیافراگمی می‌شود که در میانه‌ی استوانه دستگاه قرار دارد (شکل ۶). با جابه‌جایی این دیافراگم، شاخصی که به این دستگاه متصل است نیز تغییر مکان می‌دهد. اگر زمانی که شاخص در پایین‌ترین نقطه قرار دارد (قبل از ورود آب به دستگاه) حجم عبوری را صفر بگیریم و زمانی که با ورود آب به دستگاه شاخص حرکت می‌کند تغییر حجم آب را به روش‌های حجمی یا وزنی اندازه‌گیری کنیم تا شاخص به بالاترین نقطه برسد، و تغییر حجم اندازه‌گیری شده در این نقطه را به‌عنوان حداکثر تغییر حجمی که توسط این دستگاه قابل اندازه‌گیری است نسبت دهیم، آن‌گاه می‌توان با برقراری یک رابطه‌ی خطی بین تغییر حجم صفر و تغییر حجم حداکثر، تنها با اندازه‌گیری میزان جابه‌جایی شاخص، تغییر حجم در دستگاه را محاسبه نمود. دقت اندازه‌گیری تغییر حجم در این روش بستگی به دقت تغییر مکان سنج استفاده شده دارد. دقت تغییر مکان سنج مورد استفاده در این دستگاه معادل یک صدم میلی‌متر می‌باشد.

فرستاده می‌شود یا از آن خارج می‌شود تا فشار در سلول را در حد ثابتی نگه دارد، در واقع متعلق به انبساط و انقباض سلول و جذب آب نمونه است و نمی‌توان آن را تماماً به تغییر حجم نمونه نسبت داد. لذا، به‌منظور حذف اثرات انبساط و انقباض سلول دستگاه و در نتیجه افزایش دقت اندازه‌گیری تغییر حجم نمونه، سلول دوگانه‌ای برای دستگاه سه‌محوری این مطالعه طراحی و ساخته شد. بدین ترتیب، دستگاه شامل دو سلول داخلی و خارجی خواهد شد که نمونه در سلول داخلی قرار خواهد گرفت.

ضخامت سلول خارجی ۲۰ میلی‌متر است و به‌منظور افزایش مقاومت آن در برابر فشارهای وارده، اطراف آن نوارهای مقاوم‌کننده‌ای پوشانده شده است. ضخامت سلول داخلی ۷ میلی‌متر می‌باشد. هر دو سلول از جنس پریپلکس و فاصله‌ی بین آن‌ها ۱۰ سانتی‌متر می‌باشد. به‌منظور حذف هرگونه ارتباط بین سلول‌های داخلی و خارجی، در بالا و پایین سلول داخلی شیارهایی برای قرار دادن رینگ حلقوی تعبیه گردید. هر کدام از سلول‌ها دارای یک شیر ورودی آب می‌باشند. علاوه بر این، یک مسیر شستشو برای خارج نمودن هوای تجمع‌یافته در زیر سنگ متخلخل پدستال به‌کار برده شد (شکل ۱). هم‌چنین، یک شیر تخلیه‌ی هوا برای سلول خارجی و یک شیر تخلیه‌ی هوا برای سلول داخلی تعبیه گردید تا در زمان پر نمودن سلول‌ها از آب، برای تخلیه‌ی هوا از سلول مورد استفاده قرار گیرد.

اگر فشار مایع سلول خارجی درست برابر با فشار سلول داخلی باشد، اختلاف فشار در دیواره‌ی سلول داخلی دستگاه به صفر می‌رسد و لذا هیچ‌گونه انقباض یا انبساطی در سلول داخلی (که سلول اصلی دستگاه می‌باشد) رخ نخواهد داد. بدین طریق با یکسان کردن فشار در سلول‌های داخلی و خارجی، عامل تغییر حجم سلول (داخلی)، که باعث کاهش دقت اندازه‌گیری

نمونه خواهد بود. هم‌چنین گفته شد که برای افزایش دقت اندازه‌گیری، در این مطالعه از یک سلول دوگانه استفاده می‌شود که در آن فشار سلول خارجی بایستی همواره با فشار سلول داخلی برابر باشد. لذا به‌طور کلی سه دستگاه اعمال فشار مورد نیاز می‌باشد. به‌طوری که دو عدد مخصوص اعمال فشار به سلول‌های داخلی و خارجی می‌باشد و از سومین دستگاه برای اعمال فشار منفذی (u_w) استفاده می‌شود. فشار هوای منفذی نیز با استفاده از یک کمپرسور هوا ایجاد می‌شود و به‌کمک یک تنظیم‌کننده‌ی فشار هوا در مقادیر مطلوب تنظیم می‌شود. فشار آب منفذی از طریق اعمال پس فشار و فشار هوای منفذی از طریق کمپرسور هوا و تنظیم‌کننده ایجاد می‌گردد. مدت زمان ایجاد مکش بستگی به نوع خاک و مکش مورد نظر دارد. برای اعمال فشار به‌صورت تدریجی و اتوماتیک از یک مجموعه شامل یک موتور چرخنده که قابلیت اجرای برنامه‌های کامپیوتری را دارد (Servo Motor) و یک گیربکس ۱/۱۰۰ استفاده شده است. سروو موتورهای مورد استفاده در این دستگاه خاصیت دریافت فرمان را دارند و می‌توان از طریق یک برنامه کامپیوتری به آن‌ها دستور داد که از طریق ایجاد پیچش‌های ساعتگرد و پادساعتگرد در اهرم دستگاه فشار ثابت، فشار آب را در نمونه، سلول خارجی و یا سلول داخلی را تغییر دهد. وظیفه‌ی گیربکس ۱/۱۰۰ نیز آن است که چرخش سروو موتور را به یک‌صدم مقدار اصلی آن تغییر دهد. از این طریق می‌توان مدت زمان لازم برای ایجاد مکش در نمونه خاک را با تعیین نموهای دلخواه تنظیم نمود. این ویژگی در زمان آزمایش بر روی خاک‌های متورم‌شونده بسیار کارگشا خواهد بود. چرا که با افزایش یا کاهش رطوبت نمونه (تغییر مکش) در خاک‌های متورم‌شونده، شاهد تغییر حجم خواهیم بود که مهم‌ترین پارامتری است که بایستی اندازه‌گیری شود. با کاهش سرعت تغییر رطوبت و در نتیجه کاهش سرعت تغییر حجم، امکان پایش و اندازه‌گیری این



شکل ۶ نمای شماتیک تجهیزات اندازه‌گیری تغییرحجم

سیستم اعمال و اندازه‌گیری فشار

تجهیزات اعمال فشار. در این دستگاه برای ایجاد و اعمال فشار از دستگاه فشار ثابت ساخت شرکت وایکهام‌فرانس انگلستان استفاده شده است که می‌تواند تا ۳۵۰۰ کیلوپاسکال فشار (۳۵ بار) را ایجاد نماید.

تجهیزات اندازه‌گیری فشار. به‌منظور اندازه‌گیری مقادیر فشار در سلول‌های داخلی و خارجی و نیز اندازه‌گیری پس فشار، در این مطالعه از ۳ عدد حس‌گر اندازه‌گیری فشار استفاده گردید تا بتوان در هر لحظه تغییرات فشار در سلول داخلی، سلول خارجی و در مسیر پس فشار را ثبت نمود (شکل ۱). این سنسورها درست قبل از شیرهای باز و بسته کردن آب ورودی به سلول‌های داخلی، خارجی و زیرنمونه قرار داده شده‌اند. این سنسورها می‌توانند فشار صفر تا ۱۶ بار را با دقت یک‌دهم اندازه‌گیری کنند و آن را به‌صورت خروجی ۴ تا ۲۰ میلی‌آمپر ذخیره نمایند. لذا با استفاده از این سنسورها می‌توان علاوه بر نمایش مقادیر فشار به‌صورت لحظه‌ای، آن‌ها را ثبت نمود.

مکانیزم افزایش و کاهش فشار. همان‌گونه که ذکر شد، در این مطالعه برای ایجاد مکش از روش انتقال محوری استفاده شده است. در این روش، فشار هوا و فشار آب به‌طور کاملاً مجزا در نمونه ایجاد می‌شود و اختلاف این دو فشار برابر با مکش ایجاد شده در

تغییر حجم ساده‌تر خواهد شد.

اگر دما از حد مشخص شده بیش‌تر شود از یک فن برای متعادل کردن دما و در زمانی که دما به مقدار کم‌تر از این دما برسد، از یک هیتر برای رساندن دما به مقدار تعیین شده استفاده می‌شود.

کالیبراسیون دستگاه. قبل از شروع آزمایش لازم است که سنسورهای فشار، تجهیزات اندازه‌گیری حجم، سلول‌های دستگاه، لودسل و مسیر زهکشی کالیبره شوند.

کالیبراسیون Load cell مقادیر حداقل و حداکثر Load cell از طریق برنامه نوشته‌شده برای دستگاه در نظر گرفته می‌شود و قبل از این‌که بار محوری به میله‌ی منتهی به Load cell اعمال شود، با گرفتن مقدار وزن Load cell و شافت متصل‌کننده‌ی آن به دستگاه، این مقدار وزن اولیه از اندازه‌گیری حذف می‌شود و لذا عدد خوانده‌شده‌ی نهایی در واقع برابر با میزان واقعی بار محوری اعمال شده است.

کالیبراسیون دستگاه فشار ثابت و سنسورهای فشار. به‌منظور کالیبراسیون دستگاه فشار ثابت، از یک گیج با دقت بسیار بالا استفاده می‌شود. ابتدا دستگاه در یک فشار دلخواه قرار داده می‌شود و سپس با استفاده از این گیج میزان فشار دقیق با فشار نشان داده‌شده توسط دستگاه فشار ثابت مقایسه می‌شود و در صورت نیاز دستگاه فشار ثابت به‌گونه‌ای تنظیم می‌گردد که فشار دقیق را نشان دهد. پس از کالیبره کردن دستگاه‌های فشار ثابت، سنسورهای فشار متناسب با این دستگاه‌ها تنظیم می‌گردند.

کالیبراسیون تجهیزات اندازه‌گیری تغییر حجم. با توجه به توضیحات فوق، برای کالیبراسیون تجهیزات اندازه‌گیری حجم، تنها کافی است عدد مقدار حجم

اندازه‌گیری بار محوری. برای اندازه‌گیری بار محوری از یک Load cell استفاده می‌شود. این Load cell توانایی اندازه‌گیری بار محوری تا ۲۰۰۰ کیلوگرم را دارد و دقت آن برابر با ۱ کیلوگرم می‌باشد.

نرم‌افزار مورد استفاده. از نرم‌افزار Easy Builder 4.40 برنامه‌ای به‌منظور کنترل فشارها و ایجاد تغییرات فشار به‌صورت تدریجی در سلول‌ها و آب حفره‌ای و ثبت آن‌ها و نیز ثبت تغییر حجم آب‌های ورودی یا خروجی و اندازه‌گیری تمامی پدیده‌ها و پارامترهای موجود در آزمایش استفاده گردید. این برنامه می‌تواند با سرعتی قابل کنترل، فشار سلول‌ها را از مقداری اولیه به مقداری دلخواه برساند و در صورت افزایش یا کاهش فشار مورد نظر از مقدار تعیین شده، به‌صورت خودکار فشار را به مقدار تنظیم‌شده برگرداند. لذا از طریق این برنامه می‌توان مطمئن شد که مقادیر فشار در تمام طول آزمایش در مقدار تنظیم‌شده ثابت باقی خواهد ماند. همچنین قابلیت کالیبره‌ی مجدد برای سنسورهای فشار، تجهیزات اندازه‌گیری حجم و لودسل در این برنامه پیش‌بینی شده و لذا می‌توان در شروع هر آزمایش از کالیبره بودن کلیه‌ی قطعات و تجهیزات اطمینان حاصل نمود.

داده‌های ثبت شده در نهایت در یک ریزرایانه که برای کنترل اقدامات و ذخیره‌ی داده‌ها در نظر گرفته شده است، ذخیره شود و از طریق یک حافظه‌ی متحرک و نرم‌افزار مربوط می‌توان به فایل اکسل آن‌ها دست یافت.

کنترل درجه حرارت. با قرار دادن یک دماسنج در کنار دستگاه، دمای محیط حین آزمایش در حد دمای معمولی اتاق (۲۰ درجه سانتی‌گراد) نگه داشته می‌شود.

ثابت و سلول دو جداره، هوای محبوس شده را باید خارج نمود. به همین صورت، ضروری است که از عدم نشت آب از اتصالات مذکور اطمینان حاصل نمود. این عمل با مسدود نمودن شیرهای ورودی بین اتصالات و سلول، و تحت فشار قرار دادن آن‌ها به وسیله‌ی دستگاه فشار ثابت، حداقل به مدت ۴۸ ساعت مشخص می‌شود. یک نمونه‌ی مصنوعی (Dummy Sample)، از جنس آلومینیوم و با ابعادی درست مشابه نمونه خاک مورد نظر، در پوشش لاستیکی قرار می‌گیرد و داخل سلول قرار داده می‌شود. سپس بالا و پایین آن به وسیله‌ی رینگ حلقوی به کلاهک بالایی و محل قرارگیری نمونه مسدود می‌شود و انتهای لوله ورودی هوا نیز مسدود می‌گردد. دو سلول، از طریق یک منبع آب بدون هوا از آب پر می‌شود و تمهیدات لازم برای خروج حباب‌های هوای احتمالی از داخل سلول در نظر گرفته می‌شود. پس از انجام مراحل مذکور، فشار سلول‌های داخلی و خارجی به وسیله‌ی دستگاه‌های فشار ثابت، در ۴ مرحله (هر مرحله ۱۰۰ کیلوپاسکال) از صفر به ۴۰۰ کیلوپاسکال رسانده می‌شود. هر فشار اعمال شده به مدت حدود ۴۰ ساعت در سلول‌ها حفظ و نگه داشته می‌شود. در طول این مدت، داده‌های به دست آمده به صورت اتوماتیک ثبت می‌گردند. شکل (۷) تغییرات فشار را با زمان برای بارهای مختلف نشان می‌دهد. از نمودارهای مذکور نتیجه‌گیری می‌شود که تغییر حجم کلی ناشی از اعمال فشار را می‌توان به دو دسته تقسیم نمود:

- الف- تغییر حجم آبی ناشی از تغییر فشار آب سلول
ب- تغییر حجم ناشی از جذب آب به وسیله‌ی دیواره‌ی سلول که با زمان رابطه‌ی خطی دارد.
- در نمودارهای فوق‌الذکر، به علت ثابت نگه داشتن دمای آزمایشگاه تغییرات حجم ناشی از تغییر درجه حرارت را می‌توان ناچیز فرض نمود.

بر اساس اطلاعات مستخرج از نمودارهای ارائه شده در شکل (۷)، تغییرات حجم آبی برای افزایش فشار سلول از صفر تا ۴۰۰ کیلوپاسکال تعیین شده و

صفر (زمانی که شاخص در پایین‌ترین نقطه قرار دارد)، و حجم حداکثر (زمانی که شاخص در بالاترین نقطه قرار دارد) اندازه‌گیری نموده و در قسمت مخصوصی که در برنامه تعبیه شده است قرار داد. پس از آن برنامه به صورت خودکار یک رابطه‌ی خطی بین این دو مقدار برقرار می‌کند و تغییر حجم صورت گرفته قابل اندازه‌گیری خواهد شد. لازم به ذکر است زمانی که آب به سمت خارج سلول در حرکت است (حالت پایین آمدن شاخص - Flow down) عدد حجم اندازه‌گیری شده کمی بیش‌تر از حالتی است که آب وارد سلول (حالت بالا رفتن شاخص - Flow up) می‌شود. تفاوت جزئی مشاهده شده بین این دو حالت ناشی از پدیده‌ی پسماند است. در صورت لزوم، بایستی داده‌های برداشت شده را با توجه به این پدیده و از طریق در نظر گرفتن یک ضریب مناسب اصلاح نمود.

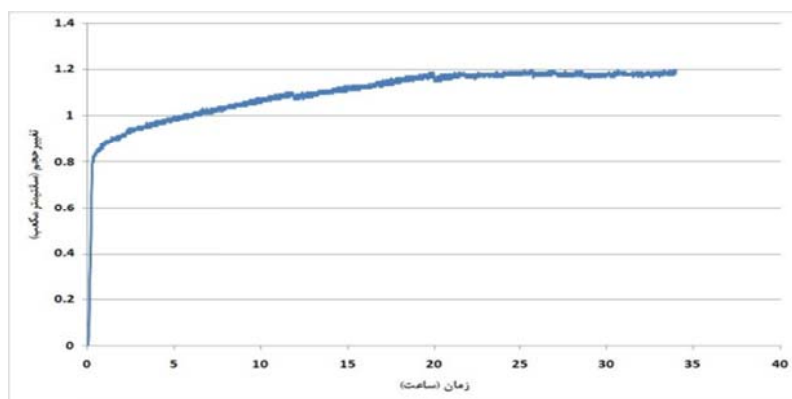
کالیبراسیون سلول دوگانه و مسیر زهکشی

کالیبراسیون سلول دو جداره. همان‌گونه که بیان گردید، حجم آب ورودی یا خروجی از سلول داخلی نشان‌دهنده‌ی تغییر حجم نمونه‌ی خاک غیر اشباع می‌باشد. لیکن، تغییر حجم آب اندازه‌گیری مذکور بایستی اصلاح گردد. مقادیری که برای تصحیح آن به کار برده می‌شود تحت عنوان تغییر حجم ظاهری موسوم است که مقدار آن بایستی با انجام کالیبراسیون تعیین شود. تغییر حجم ظاهری معمولاً به عوامل زیر بستگی دارد [37]:

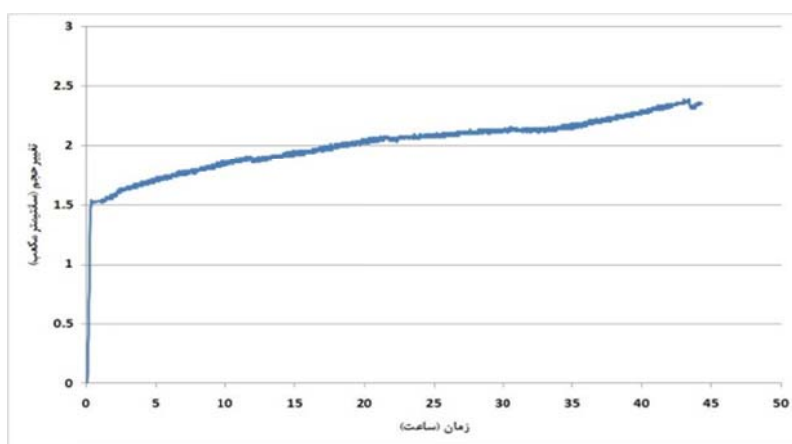
- ۱- انبساط اتصالات بین دستگاه‌های تأمین فشار و سلول دو جداره
 - ۱- تغییر شکل صفحات بالا و پایین سلول
 - ۲- تراکم آب در سلول
 - ۳- جذب آب به وسیله‌ی دیواره‌ی سلول
- بنابراین با انجام عمل کالیبراسیون، تغییر حجم ظاهری تعیین می‌گردد. قبل از عمل کالیبراسیون، با عبور آب بدون هوا از اتصالات مابین دستگاه‌های فشار

کالیبراسیون مسیر زهکشی. تغییر حجم آب در نمونه خاک معمولاً به وسیله لوله‌ی پلاستیکی که از کف نمونه به دستگاه اندازه‌گیری تغییر حجم وصل شده است اندازه‌گیری می‌شود. اگر فشار داخل این مسیر در طول آزمایش تغییر کند موجب انبساط لوله و اتصالات مربوط می‌گردد. بنابراین لازم است که کالیبراسیون لازم در این زمینه انجام شود تا امکان تصحیحات لازم در خصوص میزان آب ورودی یا خروجی از نمونه فراهم گردد. شکل (۱۰) منحنی کالیبراسیون مسیر زهکشی با فشار اعمال شده را نشان می‌دهد. معادله‌ی ریاضی برای تعیین اثر فشار با تغییر حجم برای مسیر زهکشی در جدول شماره‌ی (۱) ارائه شده است.

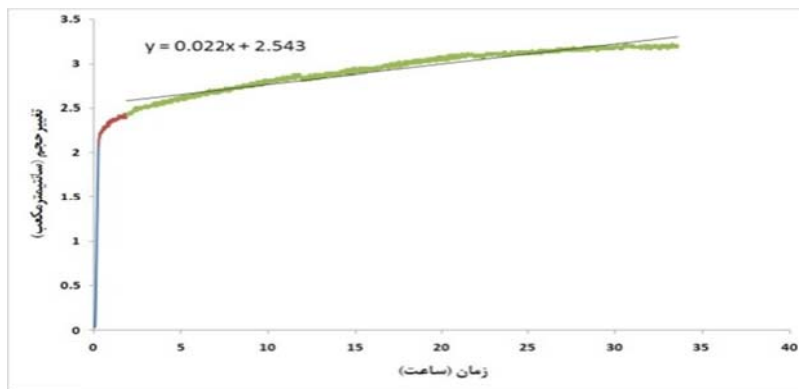
در شکل شماره (۸) نشان داده شده است. آن معادله‌ی ریاضی که تغییرات حجم آبی را با فشار سلول نشان می‌دهد، از نوع معادله‌ی درجه دوم است که در جدول (۱) ارائه گردیده است. شکل شماره‌ی (۹) نیز سرعت جذب آب به وسیله‌ی دیواره‌ی سلول را در برابر فشار اعمال شده در سلول نشان می‌دهد. داده‌های این نمودار نیز از نتایج شکل (۷) به دست آمده‌اند. همان‌گونه که در شکل (۹) نشان داده شده است، سرعت جذب آب بستگی به فشار سلول دارد و رابطه‌ی آن با فشار، یک رابطه‌ی خطی است (جدول شماره‌ی ۱). این معادلات به دست آمده از مرحله‌ی کالیبراسیون، برای تصحیح داده‌های تغییر حجم حاصل از نتایج آزمایش به کار می‌روند.



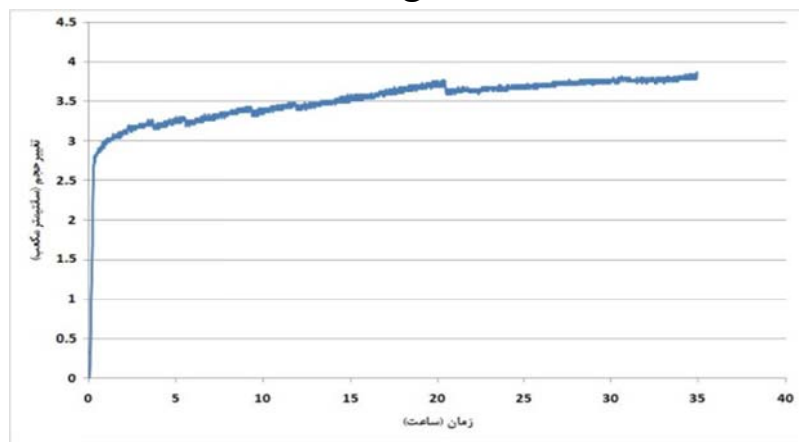
(الف)



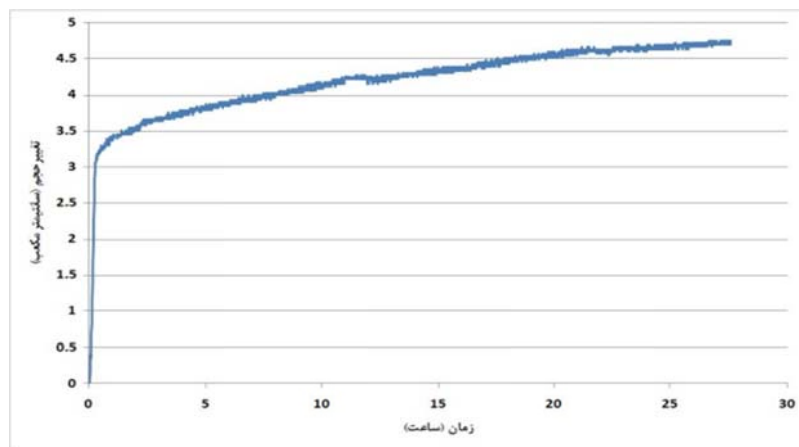
(ب)



(ج)



(د)

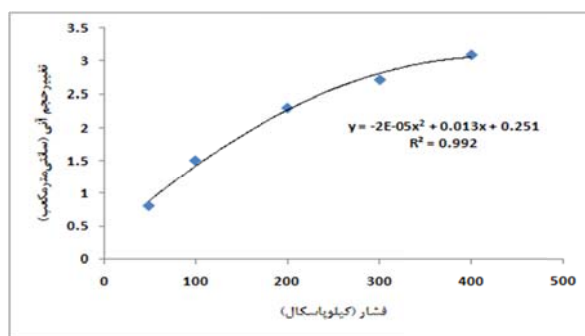


(هـ)

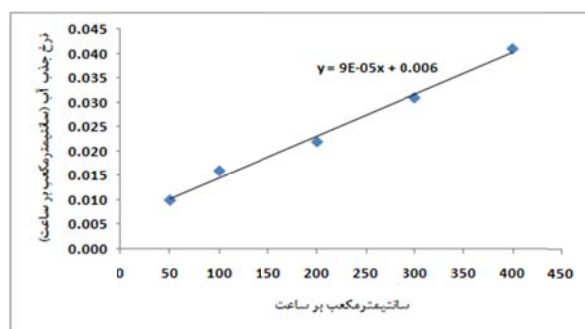
شکل ۷ نمودار تغییر حجم در مرحله‌ی کالیبراسیون برای فشارهای مختلف در سلول داخلی

جدول انواع کالیبراسیون و معادله‌های مربوط

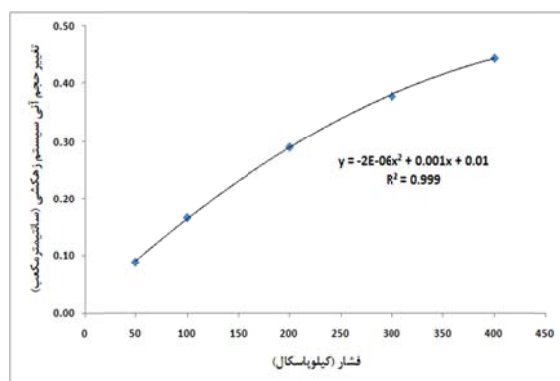
کالیبراسیون	معادله کالیبراسیون	ضرایب معادله کالیبراسیون
حجم آبی	$Y = aX^2 + bX + C$	$a=-0.00002; b=0.013; c=0.251$
جذب آب	$Y = aX + b$	$a=0.00009; b= 0.006$
مسیرزهکشی	$Y = aX^2 + bX + C$	$a=-0.000002; b=0.001; c=0.01$



شکل ۸ نمودار کالیبراسیون تغییر حجم آبی سلول داخلی



شکل ۹ نمودار نرخ جذب آب در طول زمان در سلول داخلی



شکل ۱۰ نمودار کالیبراسیون تغییر حجم آبی مسیر زهکشی

منحنی مشخصه‌ی رطوبتی یک خاک رسی تحت بار غیرایزوتروپیک ($K = \frac{\sigma_2}{\sigma_1} \neq 1$) می‌باشد. منحنی مشخصه رطوبتی خاک، نشان‌دهنده‌ی تغییرات رطوبت وزنی، حجمی و یا درجه اشباع خاک با تغییر مکش ماتریک است [36]. معمولاً در آزمایشگاه این منحنی به کمک داده‌های به دست آمده از دستگاه صفحه فشار تعیین می‌گردد. لیکن در این روش اولاً داده‌های به دست آمده پیوسته نیستند و ثانیاً اعمال بار

به هر حال، ممکن است با گذشت زمان تغییراتی در دستگاه مذکور ایجاد شود. لذا ضروری است سلول دو جداره و متعلقات مربوط به صورت ادواری مجدداً کالیبره شوند تا اثرات تغییرات جدید دستگاه در معادلات کالیبراسیون منظور گردد.

کنترل عملکرد دستگاه. هدف از انجام آزمایش با دستگاه سه محوری مورد استفاده در این پژوهش، تعیین

بتونیت مخلوط شد و روی نمونه‌های تهیه شده از این مخلوط‌های خاک و بتونیت، آزمایش تورم آزاد (ASTM D4546) انجام گردید. در نهایت، با توجه به این که هرچه میزان بتونیت بیش‌تر باشد، زمان لازم برای رسیدن نمونه‌ی تهیه شده از مخلوط خاک و بتونیت به حالت تعادل رطوبتی افزایش می‌یابد، در نهایت تصمیم گرفته شد که از مخلوط خاک و ۱۰ درصد بتونیت در تهیه‌ی نمونه جهت انجام آزمایش استفاده گردد. پس از اختلاط خاک با ۱۰ درصد بتونیت، مجدداً آزمایش حدود آتربرگ بر این مخلوط انجام شد و مشخص گردید حد خمیری و روانی آن به ترتیب به مقادیر $41/3$ و $122/9$ درصد افزایش یافته است. این خاک مطابق سیستم طبقه‌بندی یونیفاید، در طبقه‌ی CH (رس با پلاستیسیته بالا) قرار می‌گیرد. سپس با انجام آزمایش تراکم، حداکثر دانسیته‌ی خشک و رطوبت بهینه‌ی خاک مذکور به ترتیب برابر با $19/2\%$ و $1/71$ gt/cm^3 به دست آمد. در نهایت، برای آماده‌سازی نمونه‌ها و آغاز آزمایش‌ها، نمونه‌های سیلندری به ابعاد 38×76 میلی‌متر و با رطوبت حدود ۱۴ درصد ($5/2$ درصد کم‌تر از میزان رطوبت بهینه) تهیه گردید. به منظور آن‌که نمونه‌های مورد استفاده در آزمایش‌های این پژوهش یکنواخت و تکرارپذیر باشند، یک قالب مخصوص طراحی و ساخته شد که از سه قسمت مجزا تشکیل شده بود. هر قسمت این قالب از وسط به دو قسمت کوچک‌تر تقسیم شده بود. برای تهیه‌ی هر نمونه، مقدار 700 گرم خاک با میزان رطوبت ۱۴ درصد تهیه شد و به مدت ۲۴ ساعت در کیسه‌های نایلونی نگهداری شد تا به حالت تعادل رطوبتی برسد. سپس خاک مرطوب حاصل در سه لایه و به روش استاتیکی با سرعت بارگذاری $1/5$ mm/min [11] در قالب مذکور متراکم گردید و سپس با حذف قسمت‌های زائد، نمونه خاک برای انجام آزمایش تهیه گردید. قبل از نصب نمونه در دستگاه، اقدامات اولیه آماده‌سازی دستگاه که شامل اشباع نمودن سنگ متخلخل با عدد ورود هوای زیاد (HAED) بود انجام شد و سپس نمونه مطابق روش [33] Sivakumar and Wheeler در

غیرایزوتروپیک مشخص روی نمونه امکان‌پذیر نمی‌باشد. در دستگاه سه‌محوری اصلاح شده علاوه بر این که معایب دستگاه صفحه فشار مرتفع می‌شود، انجام انواع آزمایش‌های مقاومتی تحت مکش ثابت و نیز دیگر آزمایش‌های مربوط نیز ممکن می‌گردد [31].

منحنی مشخصه‌ی رطوبتی خاک را می‌توان یکی از روابط اساسی در خصوص بیان خواص مکانیکی خاک‌های غیراشباع محسوب نمود. با استفاده از این منحنی می‌توان مقاومت برشی، ضریب نفوذپذیری، درصد رطوبت و درجه اشباع خاک را در مکش‌های مختلف برای خاک مورد نظر به دست آورد [14,36]. شکل و خصوصیت این منحنی به عوامل متعددی مانند نوع خاک، درجه‌ی تراکم، درصد رطوبت تراکم و اثر اعمال بار بستگی دارد. محققانی از قبیل Miller et al [25] اثر نوع خاک و درجه تراکم آن را بر روی منحنی مشخصه‌ی رطوبتی بررسی و نتیجه‌گیری نمودند که این دو عامل نقش مهمی در شکل و وجود این منحنی دارند. همچنین، Marinho and Chandler [22] و Tin jum et al [35] اثر رطوبت اولیه را بر روی این منحنی و برای خاک‌های مختلف بررسی نمودند و به این نتیجه رسیدند که رطوبت اولیه تأثیر چندانی بر روی منحنی مشخصه‌ی رطوبتی ندارند. بررسی منابع مطالعه شده در این پژوهش نشان می‌دهد که خصوصیات منحنی مشخصه‌ی آب و خاک تحت بار غیرایزوتروپیک ($K \neq 1$) تاکنون مورد کنکاش قرار نگرفته است.

انتخاب خاک و تهیه‌ی نمونه. خاک انتخابی اولیه برای انجام آزمایش‌ها از جنس یک خاک رسی با ۸ درصد ماسه، ۱۱ درصد سیلت و ۸۱ درصد رس، حد روانی $50/6$ و حد خمیری ۳۱ درصد بود. بر اساس طبقه‌بندی McKean [24] این خاک در دسته خاک‌های با پتانسیل تورم کم قرار می‌گیرد. لذا، با توجه به این که هدف از انجام این مطالعه، تعیین منحنی مشخصه‌ی رطوبتی خاک‌های متورم‌شونده در حالت غیرایزوتروپیک بود، خاک اولیه با درصدهای متنوعی از

دستگاه نصب گردید.

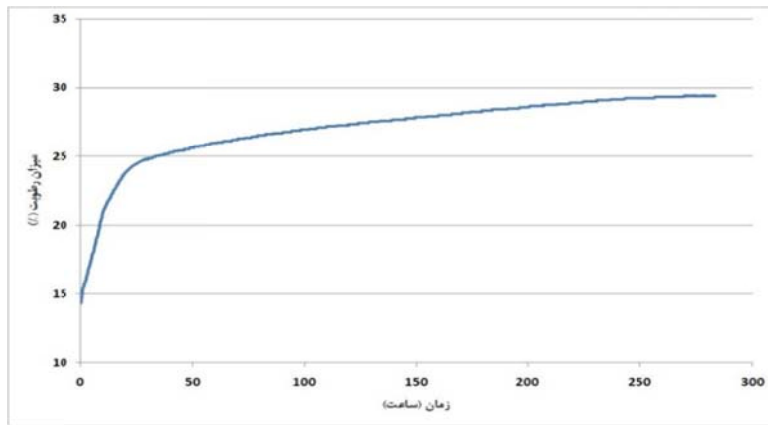
مرحله‌ی تغییر مکش. پس از آن که مکش مورد نظر در نمونه ایجاد شد، مرحله‌ی اصلی آزمایش را می‌توان آغاز نمود و مکش را کاهش یا افزایش داد. در این تحقیق تنها افزایش مکش مدنظر بوده است. برای انجام این کار، فشار هوا (u_a) ثابت نگه داشته شده و فشار آب (u_w) با یک سرعت خاص کاهش می‌یابد [38]. سرعت کاهش فشار آب منفذی بستگی به نوع خاک دارد [31]. وی پس از بررسی‌های لازم، سرعت کاهش مکش را برابر $\frac{0.8 \text{ kPa}}{\text{hour}}$ پیشنهاد نمود. از این مقدار پیشنهادی در تحقیق حاضر نیز استفاده گردید، به‌گونه‌ای که تغییر مکش از ۵۰ کیلوپاسکال به ۳۰۰ کیلوپاسکال حدود ۱۵ روز به طول می‌انجامد.

نتایج

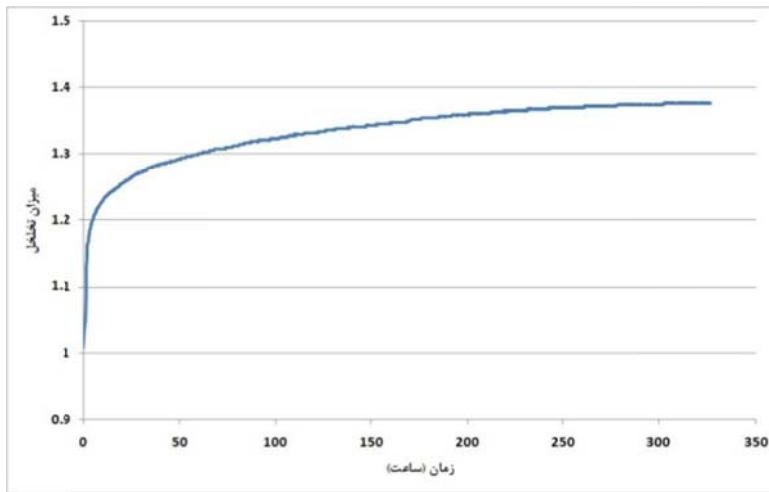
بر اساس اطلاعات ثبت شده در طول مدت زمان رسیدن نمونه به حالت تعادل برای ایجاد مکش ۵۰ کیلوپاسکال و اعمال مقادیر کالیبراسیون، تغییرات نسبت تخلخل و رطوبت نمونه محاسبه گردید. نمونه‌ای از نتایج در شکل (۱۱) نشان داده شده است. همان‌گونه که در شکل مشاهده می‌شود، طی مدت رسیدن نمونه به مکش ۵۰ kPa، میزان رطوبت و نسبت تخلخل نمونه افزایش می‌یابد. این بدان معناست که مکش اولیه‌ی نمونه بیش‌تر از ۵۰ کیلوپاسکال بوده است و لذا آب به سمت نمونه جریان پیدا می‌کند. تا این که مکش به مقدار ۵۰ کیلوپاسکال برسد. در نهایت، بر اساس اطلاعات حاصل از مراحل مختلف آزمایش، منحنی‌های مشخصه‌ی رطوبتی خاک برای مقادیر مختلف $\frac{\sigma'_3}{\sigma'_1}$ تعیین شده و در شکل (۱۲) نشان داده شده است. مطابق شکل، مکش اولیه‌ی ایجاد شده در نمونه برابر ۵۰ کیلوپاسکال است که به‌صورت تدریجی به ۳۰۰ کیلوپاسکال می‌رسد. نتایج حاصل از آزمایش‌های تعیین منحنی مشخصه‌ی رطوبتی خاک نشان داد که شکل این منحنی برای یک نوع خاک، تحت تأثیر تنش‌های اعمال شده به آن خاک قرار دارد. این مسأله با نتایج [25] Miller et al مطابقت دارد.

مراحل انجام آزمایش. مکش اولیه در نمونه‌ای که مترکم شده و در دستگاه جهت آزمایش قرار داده شده است مشخص نیست. لذا در ابتدا می‌بایست مکش نمونه را به یک مقدار مشخص رسانید. به همین دلیل، همه‌ی آزمایش‌هایی که بر خاک‌های غیراشباع انجام می‌شود شامل دو مرحله می‌شود: مرحله‌ی تعادل و مرحله‌ی اصلی آزمایش.

مرحله‌ی تعادل (Equalization Stage). هدف از انجام این مرحله ایجاد یک مکش مشخص در نمونه است. بدین منظور، یک فشار هوای مشخص (u_a) از بالای نمونه و یک فشار آب مشخص (u_w) از پایین نمونه و از طریق صفحه‌ی متخلخل با عدد ورود هوای بالا به نمونه که در دستگاه، تحت فشار جانبی غیرایزوتروپیک $(\sigma_3 > u_a) \frac{\sigma'_3}{\sigma'_1} \neq 1$ قرار دارد اعمال می‌گردد [۱۰]. لذا مکش ایجاد شده در نمونه برابر با $S_u = u_a - u_w$ خواهد بود. به‌طور مثال اگر مکش ۵۰ کیلوپاسکال موردنظر باشد، با انتخاب $u_a = 100 \text{ kPa}$ و $u_w = 50 \text{ kPa}$ می‌توان این مکش را ایجاد نمود. مدت زمان لازم برای ایجاد مکش به‌روش فوق در نمونه به نوع خاک و مکش اولیه‌ی نمونه بستگی دارد. طی این زمان، بسته به میزان رطوبت اولیه و مکش اولیه‌ی نمونه، آب می‌تواند به نمونه وارد و یا از آن خارج شود. این مدت می‌تواند بین ۷ تا ۱۰ روز به طول بینجامد. محققانی مانند [31] Sharma و al Rampinoet [29] بیان نمودند که مرحله‌ی ایجاد تعادل زمانی خاتمه می‌یابد که میزان آب خروجی یا ورودی به نمونه به مقدار کم‌تر از $\frac{1 \text{ cm}^3}{\text{day}}$ برسد. در این پژوهش، فشار هوا (u_a) و فشار آب منفذی (u_w) اعمال شده به نمونه به‌ترتیب برابر با ۳۵۰ و ۳۰۰ کیلوپاسکال انتخاب گردید و بدین ترتیب مکش حاصل برابر با ۵۰ kPa شد. برای تمامی نمونه‌ها همین مراحل ایجاد مکش ۵۰ kPa انجام شد.

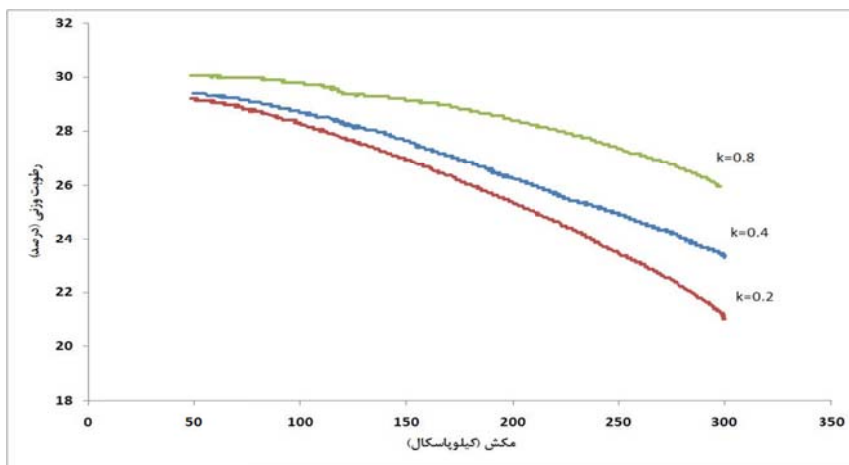


شکل ۱۱- الف



شکل ۱۱ - ب

شکل ۱۱ تغییرات الف) میزان رطوبت و ب) نسبت تخلخل طی مدت زمان رسیدن نمونه به مکش ۵۰ kPa برای $K=0.4$



شکل ۱۲ منحنی مشخصه‌ی رطوبتی خاک تحت آزمایش در نسبت‌های غیرایزوتروپیک مختلف

نتیجه گیری

دستگاهی جدید و ساده با اندازه گیری بسیار دقیق تغییر حجم کلی نمونه طراحی و ساخته شده است. از لحاظ استفاده از سیستم سلول دوگانه، این دستگاه شبیه به دستگاه [37] Wheeler است. یکی از این موارد، سیستم اندازه گیری تغییر حجم است. در دستگاه ویلر، تغییر حجم نمونه از طریق تغییر ارتفاع آب در لوله‌ی بورت انجام می‌گرفت. برخی از محققان برای تعیین تغییر حجم آب در سلول داخلی از بورت و برای تعیین تغییر حجم آب منفذی از دستگاه از Constant Volume Change استفاده کردند [31,33] (معايب استفاده از بورت در بخش ۱-۲ ذکر شد). اما در این دستگاه، استفاده از Constant Volume Change برای هر دو مورد تغییر حجم آب منفذی و سلول داخلی باعث شد که علاوه بر امکان اندازه‌گیری تغییر حجم با دقت میلی‌متر مکعب، اندازه‌گیری‌ها نیز همگی به صورت تمام اتوماتیک انجام می‌شود. این خاصیت برای آزمایش بر روی نمونه‌های غیر اشباع که بسیار زمان‌بر هستند، قابل ملاحظه است.

از این رو، ویژگی متمایز دیگری این دستگاه نسبت به دستگاه‌های قبلی آن است که دستگاه حاضر، به صورت کاملاً خودکار عمل می‌کند. این خاصیت، استفاده از این دستگاه را بسیار آسان‌تر می‌سازد. ویژگی سوم، استفاده از Servo Motor در مکانیزم کاهش یا افزایش فشار است. ذکر شد که [31] Sharma در دستگاه خود از Stepper Motor استفاده کرده بود و

عیب آن نیز عنوان گردید (بخش ۱-۲).

هم‌چنین، در سلول‌های دوگانه [37] Wheeler و [33] Sivakumar سلول داخلی کاملاً در سلول خارجی قرار می‌گرفت و پرنمودن سلول‌ها از بالا انجام می‌شد. این مشکل توسط [31] Sharma با جداسازی کامل دو سلول از هم، قرار دادن مسیر ورود آب در پایین سلول‌ها و قرار دادن دو منفذ برای تخلیه‌ی هوا در بالای آن‌ها حل شد. در این دستگاه نیز از روش [31] Sharma در طراحی سلول‌ها استفاده شده است. نتایج نشان دهنده‌ی آن است که طی عمل افزایش مکش، با افزایش نسبت $\frac{\sigma_3}{\sigma_1}$ ، تغییرات درصد رطوبت کاهش می‌یابد. دلیل وقوع این پدیده را این‌گونه می‌توان بیان نمود که با افزایش نسبت $\frac{\sigma_3}{\sigma_1}$ در واقع تنش‌های وارد به نمونه افزایش می‌یابد و لذا حجم خلل و فرج در نمونه رو به کاهش می‌گذارد. لذا رطوبت کم‌تری در نمونه وجود خواهد داشت که حین عمل افزایش مکش از نمونه خارج می‌گردد.

نتایج به دست آمده از آزمایش‌ها چنین می‌نماید که:

- ۱- منحنی مشخصه‌ی رطوبتی خاک تحت هر شرایطی از اعمال بار قابل حصول است. ۲- منحنی مشخصه‌ی رطوبتی خاک تابعی از اعمال بار وارد به خاک است.
- ۳- در شرایط بارگذاری غیرایزوتروپیک، در یک مکش ثابت، با افزایش نسبت $\frac{\sigma_3}{\sigma_1}$ ، مقدار رطوبت کاهش می‌یابد.

مراجع

1. Arunasalam, R., "Coupling of mechanical behaviour and water retention behaviour in unsaturated soils", PhD thesis, University of Glasgow, Glasgow, UK., (2009)
2. Bishop, A. W. & Blight, G. E., "Some aspects of effective stress in saturated and partially saturated soils", *Géotechnique*, 13(3), pp. 177-197, (1963).
3. Bishop, A.W., and Donald, I.B., "The experimental study of partly saturated soil in the triaxial apparatus", *In Proceedings of the 5th International Conference on Soil Mechanics and Foundation Engineering*, 1, Paris, pp. 13-21, (1961).

4. Bocking, K. A. and Fredlund, D.G., "Limitations of the axis translation technique", *Proceeding of 4th International Conference on Expansive soils*, Denver, 117-135, (1980).
5. Chiu, C.F., "Behaviour of unsaturated loosely compacted weathered materials", PhD thesis, The Hong Kong University of Science and Technology, Hong Kong, (2001).
6. Cui, Y.J. and Delage, P., "Yielding and plastic behaviour of an unsaturated compacted silt", *Géotechnique*, 46(2), pp. 291-311, (1996).
7. Delage, P., Romero, E. and Tarantino, A., "Recent developments in the techniques of controlling and measuring suction in unsaturated soils", *Proceedings Of The First Uropean Conference On Unsaturated Soils*, E-Unsat 2008, Durham, United Kingdom, July 2-4, (2008).
8. Dineen, K. and Burland, J.B., "A new approach to osmotically controlled oedometer testing", *Proceedings of the First International Conference on Unsaturated Soils*, Paris, 2, 459-465, (1995).
9. Drumright, E., "Shear strength for unsaturated soils", PhD thesis, University of Colorado, Fort Collins, Colo, (1987).
10. Estabragh, A.R., Javadi, A.A. and Boot, J.C., "The effect of compaction pressure on consolidation behaviour of unsaturated silty soils", *Canadian Geotechnical Journal*, pp. 540-550, 41(3), (2004).
11. Estabragh, A.R. and Javadi, A.A., "Critical state for overconsolidated unsaturated silty soil", *Canadian Geotechnical Journal*, 45(3), pp. 408-420, (2008).
12. Esteban, V. and Saez, J., "A device to measure the swelling characteristics of rock samples with control of the suction up to very high values", *Proc. ISRM Symposium on Rock Mechanics and Power Plants*, Madrid, 2, (1988).
13. Fredlund, D.G. and Morgenstern, N.R., "Stress state variables for unsaturated soils", *Journal of the Geotechnical Engineering Division*, Proceedings, ASCE (GT5), 103, pp. 447-466, (1977).
14. Fredlund, D.G. and Rahardjo, H., "Soil Mechanics for Unsaturated Soils", New York: Wiley Inter Science, (1993).
15. Hilf, J. W., "An investigation of pore water pressure in compacted cohesive soils"; *Technical Memo 654, Denver, Bureau of Reclamation*, (1956).
16. Kassif, G. and Ben Shalom, A., "Experimental relationship between swelling pressure and suction", *Géotechnique*, 21(3), pp. 255-259, (1971).
17. Komornik, A., Livneh, M. and Smucha, S., "Shear strength and swelling of clays under suction", *Proceedings of 4th International Conference on Expansive soils*, Denver, CO, 1, pp. 206-226, (1980).
18. Khan, M.H. and Hoag, D.L., "A noncontacting transducer for measurement of lateral strains", *Canadian Geotechnical Journal*, 16, pp. 409-411, (1979).
19. Lagerwerff, J.V., Ogata, G. and Eagle, H.E., "Control of osmotic pressure of culture solutions with

- polyethylene glycol", *Science*, 133, pp. 1486-1487, (1961).
20. Lloret, A, Villar, M.V., Sanchez, M., Gens, A., Pintado, X. and Alonso, E.E., "Mechanical behaviour of heavily compacted bentonite under high suction changes", *Géotechnique*, 53(1), pp. 27-40, (2003).
 21. Macari, E.J., Parker, J.K. and Costes, N.C., "Measurement of volume changes in triaxial tests using digital imaging techniques", *Geotechnical Testing Journal*, 20(1), pp. 103-109, (1997).
 22. Marinho, F.A. and Chandler, R.J., "Aspects of the behavior of clays on drying", Unsaturated soils Geotechnical special publication, 39, S. Houston and W. Wray, eds., ASCE, New York, (1993).
 23. Matyas, E.L. and Radhakrishna, H.S., "Volume change characteristics of partially saturated soils", *Géotechnique*, 18 (4), pp. 432-448, (1968).
 24. McKeen, R.G., "A model for predicting expansive soil behavior", *Proc. 7th Int. Conf. on Expansive Soils*, 1, Dallas, pp. 1-6, (1992).
 25. Miller, C. J., Yesiller, N., Yaldo, K. and Merayyan, S., "Impact of Soil Type and Compaction Conditions on Soil Water Characteristic", *J. Geotech. Eng.*, ASCE, 128(9), pp. 733-742, (2002).
 26. Ng, C.W.W. and Chiu, C.F., "Behaviour of a loosely compacted unsaturated volcanic soil", *Journal of Geotechnical and Geoenvironmental Engineering*, ASCE, 127(12), pp. 1027-1036, (2001).
 27. Ng, C.W.W., Zhan, L.T. and Cui, Y.J., "A new simple system for measuring volume changes in unsaturated soils", *Canadian Geotechnical Journal*, 39, pp. 757-764, (2002).
 28. Padilla, J.M., Houston, W.N., Lawrence, C.A., Fredlund, D.G., Houston, S.L. and Perez, N.P., "An Automated Triaxial Testing Device for Unsaturated Soils", *Proceedings of the Fourth International Conference on Unsaturated Soils*, April 2-6, Carefree, AZ., pp. 1775-1786, (2006).
 29. Rampino C., Mancuso C. and Vinale F., "Laboratory testing on an unsaturated soil", equipment, procedures, and first experimental results, *Canadian Geotechnical Journal*, 36(1), pp. 1-12, (1999).
 30. Romero, E., Lloret, F., Gen, J.A. and Alonso, E.E., "A new suction and temperature controlled triaxial apparatus", *In Proceedings of the 14th International Conference on Soil Mechanics and Foundation Engineering*, Hamburg, 1, pp. 185-188, (1997).
 31. Sharma, R.S., "Mechanical behavior of unsaturated highly expansive clays", PhD Thesis, Oxford University, (1998).
 32. Sivakumar, V., "A critical state framework for unsaturated soils", PhD Thesis, University of Sheffield, (1993).
 33. Sivakumar, R., "Effects of anisotropy on the behaviour of unsaturated compacted clay", PhD thesis, Queen's University Belfast, (2005).
 34. Tarantino, A., Mongiovi, L. and Bosco, G., "An experimental investigation on the independent

- isotropic stress variables for unsaturated soils", *Géotechnique*, 50(3), pp. 285-292, (2000).
35. Tinjum, J.M., Benson, C.H. and Blotz, L.R., "Soil-water characteristic curves for compacted clays", *Journal of Geotechnical and Geoenvironmental Engineering*, ASCE, 123(11), pp. 1060 – 1069, (1997).
 36. Vanapalli, S.K., Pufahl, D.E. and Fredlund, .G., "Relationship between soil-water characteristic curves and the as-compacted water content versus soil for a clay till", *XI Pan-American Conference on Soil Mechanics and Foundation Engineering*, Brazil, August 8-12, 2, pp. 991-998. (1999).
 37. Wheeler, S.J., "The stress-strain behavior of soils containing gas bubbles", PhD thesis, Oxford University, U.K., (1986).
 38. Wheeler, S.J. and Sivakumar V., "An elasto-plastic critical state framework for unsaturated soil", *Géotechnique*, 45(1), pp. 35–53, (1995).
 39. Zakaria, I., "Yielding of unsaturated soil", PhD thesis, University of Sheffield, UK, (1995).
 40. Zur, B., "Osmotic control of the matric soil-water potential", *Soil Sci.*, 102, pp. 394-398, (1966).